

# **ВЛИЯНИЕ ДИАМАГНИТНОГО РАЗБАВЛЕНИЯ НА СПИНОВУЮ ДИНАМИКУ В МАНГАНИТАХ**

*V.A. Ацаркин<sup>1</sup>, В.В. Демидов<sup>1</sup>, Д.Г. Готовцев<sup>1</sup>, Н.Е. Ногинова<sup>1,2</sup>*

<sup>1</sup> Институт радиотехники и электроники РАН, 125009 Москва

<sup>2</sup> Norfolk State University, 700 Park Ave, Norfolk VA, 23504, USA

## **EFFECT OF DIAMAGNETIC DILUTION ON SPIN DYNAMICS IN MANGANITES**

*V. A. Atsarkin<sup>1</sup>, V. V. Demidov<sup>1</sup>, D. G. Gotovtsev<sup>1</sup>, N. E. Noginova<sup>1,2</sup>*

<sup>1</sup> Institute of Radio Engineering and Electronics RAS, 125009 Moscow, Russia

<sup>2</sup> Norfolk State University, Norfolk, VA 23504, USA



***Volume 6, No. 1,  
pages 1-10, 2004***

**<http://mrsej.ksu.ru>**

**ВЛИЯНИЕ ДИАМАГНИТНОГО РАЗБАВЛЕНИЯ  
НА СПИНОВУЮ ДИНАМИКУ В МАНГАНИТАХ**

B.A. Ачаркин<sup>1</sup>, В.В. Демидов<sup>1</sup>, Д.Г. Готовцев<sup>1</sup>, Н.Е. Ногинова<sup>1,2</sup>

<sup>1</sup> Институт радиотехники и электроники РАН, 125009 Москва

<sup>2</sup> Norfolk State University, 700 Park Ave, Norfolk VA, 23504, USA

В магниторазбавленных кристаллах  $\text{LaMn}_x\text{Ga}_{1-x}\text{O}_3$  исследованы спектры ЭПР ионов Mn (диапазон концентраций  $0.02 \leq x \leq 1$ ), а также ЯМР и спин-решеточная релаксация ядер  $^{69}\text{Ga}$  и  $^{71}\text{Ga}$  (при  $0 \leq x \leq 0.2$ ). Анализ спектров ЭПР позволил проследить за процессом обменного сужения, приводящим к образованию единой линии лоренцевой формы при  $x \geq 0.2$ . Подтверждён переход от антиферромагнитного к ферромагнитному типу спинового упорядочения при диамагнитном разбавлении мanganита галлием, начиная с  $x = 0.8$ . При  $x = 0.1$  обнаружено аномальное уширение и расщепление спектра ЭПР при охлаждении, что интерпретируется как результат термоактивированного внутреннего движения с характерной энергией  $E_a \sim 50$  мэВ. Исследование ядерной спин-решеточной релаксации галлия в диапазоне температур 190–390 К также свидетельствует о наличии в образцах внутреннего движения с тем же значением  $E_a$ . Обсуждается модель термоактивированных реориентаций электронных орбиталей ионов  $\text{Mn}^{3+}$ , подверженных эффекту Яна-Теллера.

**EFFECT OF DIAMAGNETIC DILUTION  
ON SPIN DYNAMICS IN MANGANITES**

V. A. Atsarkin<sup>1</sup>, V. V. Demidov<sup>1</sup>, D. G. Gotovtsev<sup>1</sup>, N. E. Noginova<sup>1,2</sup>

<sup>1</sup> Institute of Radio Engineering and Electronics RAS, 125009 Moscow, Russia

<sup>2</sup> Norfolk State University, Norfolk, VA 23504, USA

In the magnetically diluted  $\text{LaMn}_x\text{Ga}_{1-x}\text{O}_3$  single crystals, the EPR spectra of the Mn ions (at  $0.02 \leq x \leq 1$ ), as well as NMR and nuclear spin-lattice relaxation of  $^{69}\text{Ga}$  and  $^{71}\text{Ga}$  nuclei have been investigated. The analysis of the EPR spectra enabled one to follow the exchange narrowing effect to the point of appearance of a single Lorentzian line at  $x \geq 0.2$ . The transition from the antiferromagnetic to ferromagnetic type of spin ordering is confirmed under condition of the diamagnetic dilution with Ga, starting from  $x = 0.8$ . At  $x = 0.1$ , unusual broadening and splitting of the EPR spectrum are found upon cooling; this can be assigned to the effect of thermally activated internal motion with characteristic energy  $E_a$  of about 50 meV. The study of nuclear spin-lattice relaxation was performed in the temperature range of 190–390 K. The obtained data support the existence of the internal motion with the same value of  $E_a$ . This motion can be attributed to thermally activated re-orientations of the  $e_g$  electron orbitals of the  $\text{Mn}^{3+}$  ions subjected to the Jahn-Teller effect.

## 1. Введение

В последние годы широкий интерес привлекли легированные редкоземельные мanganиты – вещества с общей формулой  $\text{LaMn}_{1-y}\text{Me}_y\text{O}_3$ , где Me – двухвалентный металл (Ca, Sr и т.д.), см., напр., обзоры [1-4]. Эти материалы, являющиеся примером систем с сильными электронными корреляциями, обладают рядом необычных магнитных и транспортных свойств, из которых наибольший интерес вызывает колоссальный магниторезистивный эффект (КМР). Природа эффекта обычно связывается с механизмом "двойного обмена", который сопровождается спин-зависящим движением делокализованных электронов между ионами  $\text{Mn}^{3+}$  и  $\text{Mn}^{4+}$ . Двойной обмен не исчерпывает, однако, всех особенностей поведения мanganитов. Ионы  $\text{Mn}^{3+}$  (эффективный спин  $S = 2$ ), составляющие основную решетку, подвержены эффекту Яна-Теллера: октаэдр ближайших ионов кислорода искажается вдоль одной из осей в соответствии с выбором орбитали  $d_{3x^2-r^2}$  либо  $d_{3y^2-r^2}$  в кристаллографической плоскости (*ab*). Поэтому перескок электрона с  $\text{Mn}^{3+}$  на  $\text{Mn}^{4+}$  означает не только смену заряда и спина, но и перестройку ближайшего окружения. Физическая картина этих явлений пока далека от полной ясности и вызывает оживленную дискуссию в литературе.

При исследовании проблем, связанных с КМР-мanganитами, полезно сосредоточиться на свойствах базового соединения  $\text{LaMnO}_3$ , содержащего только трехзарядные ионы марганца. Это вещество не переходит в металлическое состояние, а магнитное упорядочение, возникающее ниже  $T_N = 140$  К, представляет собой антиферромагнетик с чередованием ферромагнитных плоскостей (*ab*) с противоположно направленными намагниченностями. Установлено (см., напр., [5,6]), что в широком диапазоне температур вплоть до  $T_{JT} = 750$  К янтеллеровские орбитали и соответствующие искажения решетки для соседних ионов  $\text{Mn}^{3+}$  в плоскости (*ab*) кристаллов  $\text{LaMnO}_3$  взаимно перпендикулярны, т.е. вытянуты вдоль осей *x* и *y* в шахматном порядке. При  $T < T_{JT}$  этот орбитальный порядок соответствует кооперативному статическому эффекту Яна-Теллера. С повышением температуры до  $T > T_{JT}$  происходит фазовый переход в более симметричное состояние, отвечающее динамическому кооперативному эффекту Яна-Теллера. Этот переход проявляется, в частности, в значительном уменьшении ширины линии ЭПР [7-9].

Примечательно, что при добавлении в  $\text{LaMnO}_3$  каких-либо примесей (не только двухвалентных щелочноземельных ионов, но и диамагнитных трехвалентных ионов типа  $\text{Ga}^{3+}$ , не влияющих на зарядовое состояние марганца) статическое орбитальное упорядочение становится менее устойчивым, что ведет к понижению  $T_{JT}$  [10-15]. При этом обменное взаимодействие между ионами марганца приобретает ферромагнитный характер. Ответ на возникающие здесь вопросы может дать изучение изоморфных твердых растворов  $\text{LaMnO}_3 - \text{LaGaO}_3$ . Это позволит проследить за эволюцией спинового обмена и орбитальных корреляций от их возникновения на уровне элементарных процессов до того момента, когда они приобретают коллективный характер и дают картину, наблюдаемую в  $\text{LaMnO}_3$  и КМР-материалах.

Магнитные, структурные и проводящие свойства системы  $\text{LaMnO}_3 - \text{LaGaO}_3$  на интегральном уровне изучались в работах [10-17]. Информацию о локальной спиновой динамике можно получить методами магнитного резонанса и спиновой релаксации, что и составило цель данной работы.

## 2. Экспериментальная методика

Опыты проводились на серии монокристаллических образцов состава  $\text{LaMn}_x\text{Ga}_{1-x}\text{O}_3$  в диапазоне концентраций марганца  $0 \leq x \leq 1$ . Кристаллы с  $x \leq 0.2$  выращены по методу Чохральского [16], а с более высокими концентрациями – зонной плавкой. Концентрация всюду указана для шихты. Данные рентгеноструктурного анализа подтвердили однофазность всех исследованных образцов; они соответствуют известной для данного материала орторомбической структуре *Pbnm* типа  $\text{O}'$  ( $c/\sqrt{2} < a, b$ ) при  $x \geq 50\%$  и  $\text{O}^*$  ( $a, b \sim c/\sqrt{2}$ ) при меньших концентрациях Mn. Эволюция постоянных решетки *a*, *b* и *c* с изменением *x* соответствует литературным данным [11,13].

Спектры ЭПР изучались в ИРЭ РАН (Москва) на спектрометре ER-200 фирмы Bruker (рабочая частота 9.6 ГГц). Использовалась модуляция внешнего магнитного поля  $B_0$  с частотой 100 кГц; при этом синхронный детектор регистрировал сигнал производной ЭПР-поглощения по магнитному полю. Температурные зависимости в диапазоне 4.2 - 300 К снимались с помощью криогенной системы Oxford (точность установки температуры  $\pm 1$  К). Интенсивность ЭПР-поглощения ( $\chi_{\text{EPR}}$ ) определялась двойным интегрированием этого сигнала либо аппроксимирующей его функции. Для абсолютной калибровки использовался стандарт  $\text{MgO}: \text{Mn}$ .

Эксперименты по ЯМР и спин-решеточной релаксации ядер и выполнены в Университете Норфолка на импульсном ЯМР спектрометре с магнитным полем 7 Тл в температурном диапазоне 190-380 К. Основные исследования проведены на ядрах  $^{69}\text{Ga}$  и  $^{71}\text{Ga}$  (рабочие частоты 72 МГц и 91.5 МГц, соответственно), некоторые измерения сделаны также на  $^{139}\text{La}$  (42.1 МГц). Минимальная длительность  $\pi/2$ -импульса составляла 1.5 мкс, что позволяло возбуждать и наблюдать (после фурье-преобразования спада свободной индукции) квадрупольно расщепленный спектр ядер Ga. Время спин-решеточной релаксации ядер ( $T_{1n}$ ) измерялась методом насыщения-восстановления, время перечной спин-спиновой релаксации ( $T_{2n}$ ) – по затуханию спинового эха.

## 3. Результаты и обсуждение

### A. ЭПР

На рис. 1 показан ряд спектров ЭПР, полученных при комнатной температуре на образцах с различными концентрациями Mn (показаны у кривых). Видно, что при  $x = 0.02$  спектр состоит из огромного числа относительно

узких линий; они сильно перекрываются и резко анизотропны. Эта картина обусловлена тонкой и сверхтонкой структурой ионов  $Mn^{3+}$  ( $S = 2$ ),  $Mn^{4+}$  ( $S = 3/2$ ),  $Mn^{2+}$  ( $S = 5/2$ ) и, возможно,  $Mn^{5+}$  ( $S = 1$ ), каждый из которых в структуре первовскита дает 4 магнитно-неэквивалентных комплекса. Количественная расшифровка этого спектра представляется нереальной. С ростом  $x$  спектр постепенно упрощается, причем в центре (при  $g \sim 2$ ) появляется и растет линия лоренцевой формы. При  $x \geq 0.2$  она становится доминирующей, а ее интегральная интенсивность ( $\chi_{\text{EPR}}$ ) примерно соответствует полной концентрации парамагнитных ионов в образце.

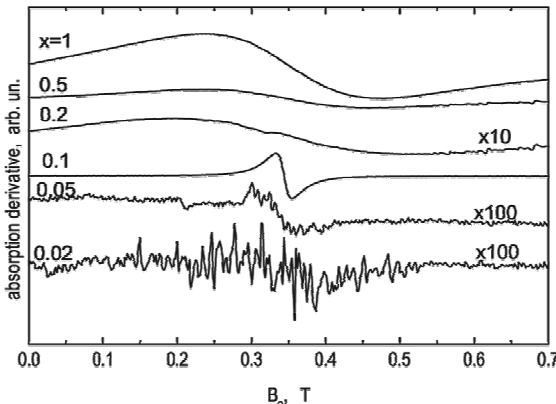


Рис. 1. Спектры ЭПР кристаллов  $LaGa_{1-x}Mn_xO_3$  при комнатной температуре. Концентрации марганца ( $x$ ) указаны у кривых

Температурные зависимости спектров ЭПР в образцах с концентрациями марганца  $x \geq 0.2$  показаны на рис. 2. При достаточно высоких температурах эти спектры хорошо аппроксимируются одной либо двумя перекрывающимися линиями лоренцевой формы. Резкое ослабление сигнала в  $LaMnO_3$  ( $x = 1$ ) при  $T < 140$  К связано с антиферромагнитным фазовым переходом. Сдвиг и искажение линий, возникающие при охлаждении ниже 140 К ( $x = 0.8$ ) и 85 К ( $x = 0.5$ ) свидетельствуют о возникновении при этих температурах ферромагнитного порядка, что согласуется с данными магнитных измерений [11,13]. Отметим, что в обоих случаях зависимости  $\chi_{\text{EPR}}(T)$  (на рисунках не показаны) в высокотемпературной области выходят на закон Кюри-Вейсса с положительными (ферромагнитными) значениями характерной температуры  $\theta \sim 110$  К.

Явных признаков магнитного упорядочения при  $x = 0.2$  в исследованном температурном диапазоне не обнаруживается, однако положительная кривизна функции  $\chi_{\text{EPR}}^{-1}(T)$  и рост ширины линии при охлаждении ниже 50 К указывают на присутствие суперпарамагнитных кластеров.

Очевидно, что наблюдаемая эволюция спектра с ростом концентрации Mn объясняется обменным сужением. Этот эффект хорошо известен в концентрированных парамагнетиках и, в частности, наблюдался в  $LaMnO_3$  [18,7,8,19]. Показано, что ширина обменно-суженной линии ЭПР в этом случае хорошо описывается формулой [20,18]

$$\Delta = \frac{M_2^0}{J} f(T), \quad (1)$$

где  $J$  – энергия обменного взаимодействия (с учетом всех соседей парамагнитного центра),  $M_2^0$  – второй спектральный момент в отсутствие обмена, а множитель

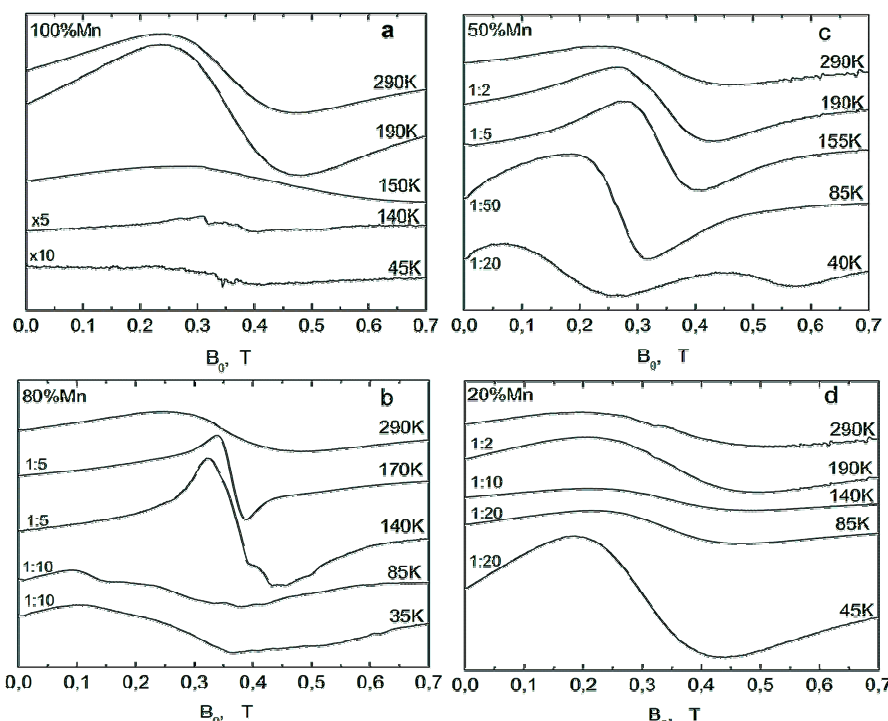


Рис. 2. Спектры ЭПР (производные сигналов поглощения в произвольных единицах) в кристаллах  $LaGa_{1-x}Mn_xO_3$  с концентрациями  $x = 1$  (a); 0.8 (b); 0.5 (c) и 0.2 (d) при различных температурах (указаны у кривых)

$$f(T) = \frac{C}{T\chi(T)}, \quad (2)$$

введенный Хьюбером [20], учитывает относительно слабую монотонную температурную зависимость, наблюдаемую вдали от критических точек и определяемую отклонением магнитной восприимчивости материала  $\chi(T)$  от закона Кюри. Формула (1) справедлива при условии  $J \gg (M_2^0)^{1/2}$ . Как показано в работах Б.И. Кочелаева, И. Дейзенхофера и др. [7,8] (см. также [19,20]), для концентрированных мanganитов основной вклад в  $M_2^0$  дает тонкая структура одночастичного спектра ЭПР иона  $Mn^{3+}$ , описываемая спин-гамильтонианом ромбической симметрии, а также (в меньшей степени) анизотропная часть обменного взаимодействия Дзялошинского-Мория. Осевой и ромбический параметры спин-гамильтониана  $D$  и  $E$  для концентрированного мanganита, полученные из сравнения экспериментальных данных с формулой (1), имеют порядок 20 ГГц [7,8,19].

В магнитно-разбавленных кристаллах количественное описание обменного сужения оказывается гораздо сложнее, поскольку вместо единого для всех ионов Mn значения  $J$  возникает широкое распределение величин  $J_{ij}$ . Как показали Б.И. Кочелаев с сотрудниками [21], в этом случае нельзя пользоваться простыми процедурами усреднения. Фактически действию обмена подвержены только те paramagnитные центры, которые оказались в составе кластеров из ближайших соседей, а остальные ионы должны демонстрировать обычный дипольно-уширенный спектр. Вопрос о том, сколько ионов Mn должен содержать обменный кластер, чтобы его спектр приблизился к единичной линии лоренцевой формы, остается открытым. Можно предположить, что настоящее обменное сужение имеет место лишь в бесконечном (перколяционном) кластере, возникающем (для простой кубической решетки) при  $x_c = 31\%$  [22]. Как видно из рис. 1, 2, в наших образцах переход к обменно-суженной линии наблюдается при  $x = 20\%$ , что несколько ниже  $x_c$ .

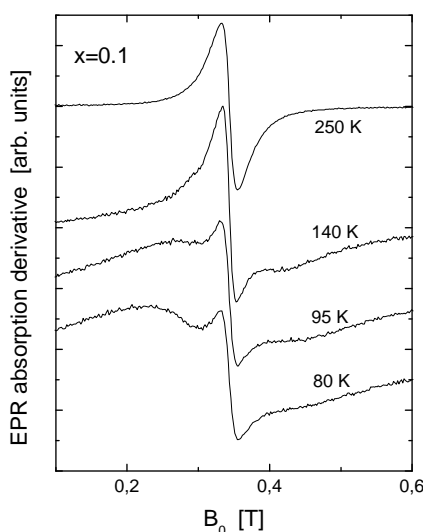


Рис. 3. Спектры ЭПР в  $LaGa_{0.9}Mn_{0.1}O_3$  при различных температурах

Вдали от критических температур в образцах с концентрациями  $x \geq 0.2$  наблюдается слабое монотонное уширение линий ЭПР с нагреванием, что качественно согласуется с формулами (1), (2) и данными по концентрированным мanganитам [7-9,18,23,24]. С ростом диамагнитного разбавления эта зависимость несколько ослабевает. Резкое уширение, наблюдаемое в  $LaMnO_3$  при подходе к температуре Нееля, соответствует литературным данным [18,7-9] и типично для критического поведения [7,8]. Некоторый рост ширины линии вблизи температур ферромагнитных переходов при  $x = 0.8$  и 0.5 также может быть сопоставлен с аналогичным эффектом в концентрированных мanganитах [18,24], однако в последнем случае, как показано в работах [25-28], уширение линии ЭПР вблизи  $T_c$  не связано с критическим ускорением релаксации, а носит неоднородный характер.

Обсудим теперь спектр ЭПР в образце с концентрацией  $x = 0.1$ . Как видно из рис. 1, при высоких температурах здесь наблюдается одиночная линия вблизи  $g = 2$ , ширина которой значительно меньше, чем при более высоких концентрациях. Заметим, что площадь этой линии соответствует лишь одной десятой от содержания Mn в образце, т.е. концентрации около 1%. При охлаждении ниже 200 К форма линии видоизменяется (рис. 3): происходит ее расщепление на две компоненты,  $A$  и  $B$ , причем ширина линии  $B$  резко возрастает с дальнейшим понижением температуры.

Наблюданное уширение линии  $B$  при охлаждении (другими словами, термоактивированное сужение спектра ЭПР) можно объяснить влиянием неких внутренних движений, приводящих к усреднению тонкой структуры за счет эффективного уменьшения одной или обеих констант спин-гамильтониана,  $D$  и  $E$ . Если характерные скорости этих движений превышают  $J/\hbar$ , их усредняющее действие должно проявиться раньше, чем влияние обмена. В таком случае в формуле (1) вместо  $M_2^0$  надо подставить редуцированное движением значение  $M_2^* < M_2^0$ , которое уменьшается с ростом температуры, что и приводит к сужению линии.

Мы полагаем, что природа обсуждаемого внутреннего движения может быть связана с реориентацией янтарлеровских орбиталей ионов  $Mn^{3+}$ , входящих в состав обменных кластеров. В концентрированном  $LaMnO_3$  такая реориентация возможна лишь при достижении критической температуры  $T_{Jt}$  и носит характер кооперативного фазового перехода, который сопровождается резким сужением линии ЭПР за счет редукции параметров  $D$  и  $E$  в условиях динамического эффекта Яна-Теллера [7-9,29]. При перенесении этой идеи на магниторазбавленную систему следует учесть, что в ограниченных кластерах перескоки (реориентации) орбиталей через барьер  $E_a$ , разделяющей возможные конфигурации, возможны при любой температуре, а вместо фазового перехода здесь ожидается закон Аррениуса с энергией активации  $E_a$ .

Соответствующая обработка температурной зависимости ширины линии  $B$  при  $x = 0.1$  показана на рис. 4. Мы полагали, что вклад в ширину линии дают быстрые флуктуации внутреннего поля со среднеквадратичной амплитудой  $\omega_L$  и временем корреляции

$$\tau_e = \tau_e^0 \exp\left(\frac{E_a}{kT}\right), \quad (3)$$

а также аддитивный температурно независимый член  $\Delta_0$ , учитывающий неоднородное уширение. Пользуясь стандартной теорией сужения спектров магнитного резонанса внутренним движением [30], можно записать

$$\gamma_e \Delta = \left[ (\Omega_L^2 \tau_e)^{-1} + (\gamma_e \Delta_\infty)^{-1} \right]^{-1} + \gamma_e \Delta_0 \quad (4)$$

где  $\gamma_e$  – электронное гиромагнитное отношение;  $\Omega_L^2$  – средний квадрат амплитуды флуктуирующего локального поля на наблюдаемых парамагнитных центрах;  $\Delta_\infty$  – ширина линии в статическом пределе (этот член устраняет расходимость при  $\tau_e \rightarrow \infty$ ). Подгонка экспериментальных данных формулами (3), (4) при значениях параметров  $E_a/k = 550$  К;  $\Delta_0 = 27$  мТ;  $\tau_e^0 \Omega_L^2 = 5 \cdot 10^5$  с<sup>-1</sup> показана на рис. 4 сплошной линией. Хотя значительное число подгоночных параметров, а также ограниченный диапазон изменения ширины линии не позволяют делать однозначных количественных выводов, на качественном уровне согласие с предложенной моделью представляется вполне разумным.

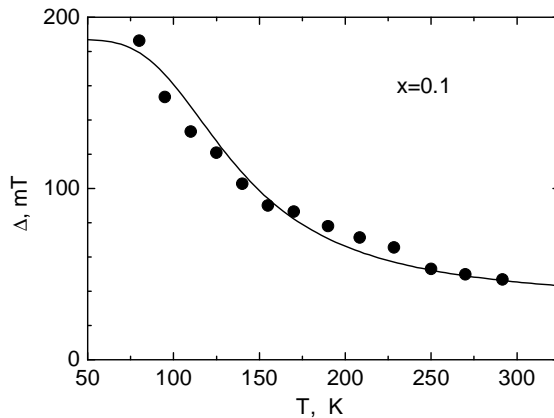


Рис. 4. Температурная зависимость ширины линии "B" в образце  $\text{LaGa}_{1-x}\text{Mn}_x\text{O}_3$  ( $x = 0.1$ ). Точки – эксперимент, кривая – расчет по формулам (3), (4) с параметрами, указанными в тексте.

## Б. ЯМР

Другим методом исследования внутренних движений является измерение времени  $T_{1n}$  спин-решеточной релаксации ядер основной решетки кристалла. Как известно [30], скорость этой релаксации пропорциональна спектральной плотности  $J(\omega_n)$  флуктуаций внутренних полей, вызывающих релаксационные переходы в ядерной спиновой системе, на частоте ЯМР  $\omega_n = \gamma_n B_0$ . В простейшем случае экспоненциального коррелятора с временем корреляции  $\tau_c$  она определяется формулой:

$$T_{1n}^{-1} = \omega_n^2 \frac{\tau_c}{1 + \omega_n^2 \tau_c^2} \quad (5)$$

где  $\omega_n^2$  – средний квадрат амплитуды флуктуаций, – частота ЯМР. Таким образом, исследуя температурную зависимость  $T_{1n}$ , можно получить информацию о времени корреляции внутренних движений.

Основные ЯМР-параметры ядер, на которых проводились измерения, таковы: <sup>69</sup>Ga: спин  $I = 3/2$ ;  $^{69}\gamma/\gamma_0 = 0.102$  Гц/Тл; природная распространенность <sup>69</sup>P = 60%; электрический квадрупольный момент (в единицах заряда электрона) <sup>69</sup>Q =  $0.168 \times 10^{-28}$  м<sup>2</sup>; <sup>71</sup>Ga:  $I = 3/2$ ;  $^{71}\gamma/\gamma_0 = 0.13$  Гц/Тл; <sup>71</sup>P = 40%; <sup>71</sup>Q =  $0.106 \times 10^{-28}$  м<sup>2</sup>.

Отметим, что изотоп <sup>71</sup>Ga имеет больший магнитный момент, а изотоп <sup>69</sup>Ga – больший электрический квадрупольный момент. Это обстоятельство оказалось весьма полезным при определении механизмов релаксации из сравнения данных для двух изотопов.

Тот факт, что оба изотопа Ga обладают ядерными спинами 3/2 и значительными электрическими квадрупольными моментами, несколько усложняет методику и интерпретацию результатов. Приходится иметь дело с четырехуровневыми спиновыми системами, демонстрирующими квадрупольно расщепленные спектры ЯМР: к центральному переходу ±1/2 добавляются два сателлита, (3/2, 1/2) и (-1/2, -3/2). Хорошо известно, что в таком случае кинетика восстановления сигналов ЯМР после импульсного насыщения состоит, в общем, из трех компонент с характерными скоростями  $W_i = R_i W_0$ , которые находятся из решения секулярного уравнения для населенностей. Здесь  $i = 1, 2, 3$ , а через  $W_0$  обозначена самая медленная из скоростей (она соответствует релаксации суммарной продольной намагниченности образца). Значения  $W_0$  и  $R_i$  зависят от механизма спин-решеточной релаксации в данном материале. Относительные амплитуды  $A_i$  этих компонент определяются, кроме того, условиями насыщения и выбором линии ЯМР, которая регистрируется в эксперименте. В наших опытах насыщался и регистрировался только центральный переход спектра. Можно показать, что в этом случае основной (не менее 90%) вклад в кривую восстановления дает только

одна компонента, причем при квадрупольном механизме релаксации она соответствует коэффициенту  $R_1 = 1$ , а при магнитном дипольном механизме – коэффициенту  $R_3 = 6$ .

Другое существенное обстоятельство, которое необходимо учитывать при измерениях спин-решеточной релаксации, связано с влиянием ядерной спиновой диффузии [31]. Если флуктуирующие локальные поля, вызывающие ядерную релаксацию, создаются спиновыми магнитными моментами парамагнитных центров (в нашем случае – ионов  $Mn^{3+}$ ), то величина  $\omega_L^2$  в формуле (5) должна сильно (как  $r_{ij}^{-6}$ ) зависеть от расстояния  $r_{ij}$  между данным ядром и ближайшим к нему парамагнитным ионом. Если ядерная спиновая диффузия достаточно эффективна, она усредняет эту зависимость, и наблюдаемая релаксация практически экспоненциальна (точнее, состоит из нескольких экспоненциальных компонент, см. выше). В противном случае кинетика каждой из компонент имеет вид "растянутой экспоненты" [32],

$$S_i(t) = A_i \exp\left(-\sqrt{\frac{t}{T_{1i}}}\right) \quad (6)$$

Здесь  $T_{1i}^{-1} = R_i T_{1n}^{-1}$ , а  $T_{1n}^{-1}$  определяется в нашем случае формулой (5) при значении локального поля [32,33]

$$\omega_L^2 = \frac{6.4\pi^3}{9} n_s^2 S(S+1) \hbar^2 \gamma_e^2 \gamma_n^2 \quad (7)$$

где  $n_s$  – концентрация парамагнитных центров.

Измерения показали, что хорошо разрешенная квадрупольная структура спектра ЯМР для обоих изотопов Ga наблюдается лишь в чистом галлатае  $LaGaO_3$  и при низких концентрациях Mn,  $x = 0.005$ . Из угловой зависимости этой структуры были определены квадрупольная частота  ${}^{71}V_Q = 1.28$  МГц и параметр асимметрии  $\eta = 0.27$ . С повышением концентрации Mn полуширина центрального перехода растет от 1.2 кГц ( $x = 0; 0.005$ ) до 25-30 кГц ( $x = 0.2$ ). Сателлиты уширяются еще сильнее и при  $x > 0.02$  становятся недоступными для наблюдения. Это уширение является неоднородным; как показал анализ, в него дают вклад как искажения градиента электрического поля, обусловленные частичным замещением Ga на Mn, так и статическая компонента дипольного магнитного поля от ионов  $Mn^{3+}$ , поляризованных в поле  $B_0 = 7$  Тл. Последнее обстоятельство подтверждается температурной зависимостью ширины линии ЯМР.

Однородная часть уширения, оцененная по скорости затухания спинового эха, возрастает от 0.3-0.5 кГц при малых концентрациях Mn до нескольких кГц при  $x = 0.1-0.2$ . В последнем случае она также зависит от температуры и, как показывает анализ, в основном определяется относительно медленными флуктуациями дипольного магнитного поля от парамагнитных центров. Более подробные данные изложены в работе [34].

Основное внимание было уделено механизму ядерной спин-решеточной релаксации. При малых концентрациях парамагнитных центров ( $x = 0$  и  $0.005$ ) кинетика восстановления намагниченности во всем исследованном температурном диапазоне была одн экспоненциальной, причем отношение  ${}^{71}T_{1n} / {}^{69}T_{1n}$  составляло 1.85. Хотя эта величина несколько меньше, чем  $({}^{69}Q / {}^{71}Q)^2 = 2.5$ , преобладание квадрупольного механизма релаксации при малых концентрациях Mn не вызывает сомнений. Температурная зависимость скорости релаксации ( $\sim T^{2.4}$ ) также удовлетворительно согласуется с квадрупольным механизмом для комбинационных спин-фононных процессов.

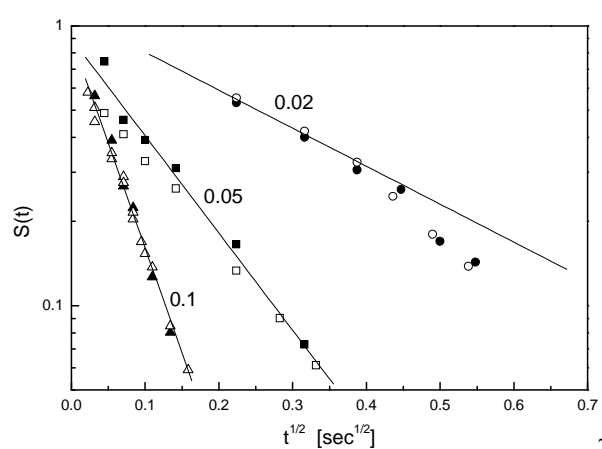
Наиболее существенные результаты получены на образцах с концентрациями  $x \geq 0.02$ . В этом случае (за исключением наиболее концентрированного из исследованных образцов,  $x = 0.2$ ) кинетика релаксации была близка к "растянутой экспоненте" (6), см. рис. 5. Как видно из рисунка, скорости релаксации на всех концентрированных образцах оказались одинаковыми для обоих изотопов,  ${}^{69}Ga$  и  ${}^{71}Ga$ . Это сразу позволяет исключить из рассмотрения квадрупольный механизм релаксации и сосредоточиться на магнитном механизме, обусловленном флуктуациями дипольных локальных полей, создаваемых электронными спинами ионов  $Mn^{3+}$ . При этом независимость  $T_{1n}$  от ядерного магнитного момента изотопа однозначно указывает, согласно формулам (5), (7), на реализацию предела "медленных движений",

$$\omega_n \tau_c \gg 1 \quad (8)$$

поскольку только в этом случае величина  $\chi_n^2$ , входящая как в множитель  $\omega_L^2$ , так и в величину  $\omega_n^2$  в знаменателе (5), сокращается и не влияет на результат.

Для дополнительной проверки при  $x = 0.05$  были проведены измерения спин-решеточной релаксации на ядрах  ${}^{139}La$  ( $I = 7/2$ ;  ${}^{139}\gamma/2\pi = 0.605$  Гц/Тл), обладающих значительно меньшим магнитным моментом по сравнению с обоими изотопами Ga. Полученные данные, обработанные с учетом многоуровневой системы  $I = 7/2$ ,

Рис. 5. Кинетика спин-решеточной релаксации ядер  ${}^{69}Ga$  (черные значки) и  ${}^{71}Ga$  (светлые значки) при  $T = 300$  К и различных концентрациях Mn (значения  $x$  показаны у кривых). Прямые линии соответствуют "растянутым экспонентам", см. (6).



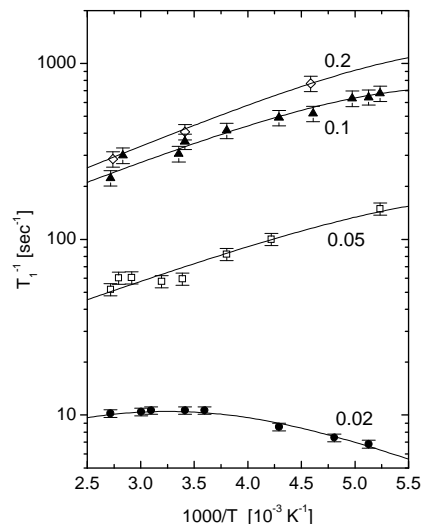


Рис. 6. Температурные зависимости скорости ядерной спин-решеточной релаксации галлия при концентрациях марганца  $x = 0.02-0.2$  (указаны у кривых). Сплошные кривые – расчет по формулам (3), (10) с параметрами, приведенными в Табл. I.

также подтвердили выполнение условия "медленных движений" (8).

Температурные зависимости скоростей ядерной спин-решеточной релаксации галлия при различных концентрациях Mn показаны на рис. 6. Видно, что при  $x = 0.02$  имеет место немонотонная зависимость с максимумом около  $T = 300$  К, а более концентрированных образцах наблюдается приблизительно экспоненциальный рост  $T_{1n}^{-1}$  с охлаждением. Подобные зависимости неоднократно наблюдались в ядерных спиновых системах с термоактивированным внутренним движением (см., напр., [30]), однако замедление релаксации при повышении температуры обычно ассоциировалось с пределом "быстрых движений",

$$\omega_n \tau_c \ll 1,$$

а максимум на кривой  $T_{1n}^{-1}(T)$  – с условием  $\omega_n \tau_c = 1$ . И то, и другое не согласуется со сделанным выше выводом о справедливости неравенства (8).

Предположим теперь, что в качестве времени корреляции  $\tau_c$  в формулах (5) и (8) выступает время электронной спин-решеточной релаксации  $T_{1e}$  ионов  $Mn^{3+}$ . Примем, далее, что причиной электронной релаксации является некое внутреннее движение с новым, значительно более коротким временем корреляции  $\tau_e$ , которое подчиняется закону Аррениуса с энергией активации  $E_a$ , см. формулу (3), использованную при обсуждении данных ЭПР. В этом случае величина  $T_{1e}^{-1}$  определяется формулой, аналогичной (5), но с заменой  $\tau_c$  на  $\tau_e$ , а частоты ЯМР,  $\omega_h \sim 5 \times 10^8$  с<sup>-1</sup>, – на частоту ЭПР,  $\omega_e \sim 10^{12}$  с<sup>-1</sup>. Тогда, учитывая условие (8) и соотношение (5), имеем:

$$T_{1n}^{-1} = \left( \frac{\omega_L^2}{\omega_n^2} \right) \frac{\Omega_L^2 \tau_e}{1 + (\omega_e \tau_e)^2} \quad (10)$$

где  $\Omega_L^2$  играет роль среднего квадрата амплитуды флуктуирующего локального поля, индуцирующего релаксацию электронных спинов.

Результаты подгонки экспериментальных зависимостей  $T_{1n}^{-1}(T)$  формулой (10) показаны на рис. 6 сплошными линиями. При подгонке учитывалось, что наблюдаемая на центральном переходе скорость релаксации, в соответствии со сказанным выше, равна  $6 T_{1n}^{-1}$ . Набор параметров, обеспечивающих наилучшее согласие с экспериментом, приведен в Табл. I.

Таблица I. Параметры подгонки температурных зависимостей  $T_{1n}$  (рис. 6) формулами (3), (10)

$x$	$E_a/k, K$	$\omega_e/\gamma_h, \text{Э}$	$\tau_{e0}, 10^{-14} \text{ с}$	$\Omega_L, 10^{10} \text{ с}$
0.02	550	9	13.5	2.0
0.05	500	22	3.0	2.5
0.1	550	46	3.0	2.5
0.2	580	59	2.0	2.5

Обсудим вкратце данные Табл. I. Подчеркнем прежде всего близость значений  $E_a$ , полученных для различных концентраций Mn, а также совпадение этой величины с оценкой энергией активации по данным ЭПР (раздел 3А). Далее, отметим, что использованные при подгонке значения амплитуды флуктуаций  $\Omega_L$  по порядку величины согласуются с параметрами  $D$  и  $E$  спинового гамильтониана ионов  $Mn^{3+}$  [7,8,19,29]. Наконец, следующая из Табл. I квадратичная концентрационная зависимость  $\omega_e$  согласуется с формулой (7). При этом значения  $n_s$ , полученные из сопоставления (7) с данными таблицы, оказываются в 5-10 раз ниже, чем номинальная концентрация Mn в образцах. Этот вывод согласуется с данными ЭПР для  $x = 0.1$ , где наблюдалось термоактивированное сужение линий. Таким образом, в термоактивированном движении, определяющем скорость ядерной релаксации Ga, участвуют далеко не все присутствующие в образцах ионы  $Mn^{3+}$ . Это представляется вполне разумным, если принять высказанное в разделе 3А предположение о том, что внутреннее движение обусловлено термоактивированными реориентациями ян-теллеровских конфигураций в кластерах, состоящих из нескольких ионов  $Mn^{3+}$ . Естественно, что в такие кластеры попадает лишь небольшая часть всех парамагнитных ионов, однако скорость реориентаций в них оказывается наиболее эффективной для спиновой релаксации. Отметим, что, кроме кластеров, источником потенциальных барьеров для ян-теллеровских реориентаций могут служить различные структурные дефекты, играющие роль центров пиннинга.

#### 4. Заключение

Таким образом, проведенное в данной работе исследование спектров ЭПР в серии магниторазбавленных образцов манганитов-галлатов лантана, как и выполненные на тех же материалах измерения ядерной спин-решеточной релаксации галлия, дает основания говорить о существовании в этих материалах внутреннего термоактивированного

движения с энергией активации порядка 50 мэВ. Полученная оценка энергии активации по порядку величины соглашается с минимальной высотой потенциального барьера, характерной для реориентаций тетрагональных ян-теллеровских конфигураций в гидратных комплексах меди [35,36]. Отметим, что этот барьер значительно ниже номинальной энергии ян-теллеровского расщепления состояния  $e_g$ . Он возникает за счет квадратичных вибронных взаимодействий с учетом ангармоничности и соответствует "обходной" траектории вокруг пика потенциальной энергии [36,37].

Термоактивированные реориентации ян-теллеровских искажений можно рассматривать как переходной этап от жесткого статического орбитального упорядочения  $e_g$ -орбиталей к динамическому беспорядку. Ферромагнитный знак обменного взаимодействия, свойственный данному явлению, согласуется с теоретической моделью вибронно-зависящего суперобмена в условиях коррелированных реориентаций орбиталей [10,11]. Полная теория магнитного резонанса и релаксации в подобных объектах пока отсутствует. Можно лишь подчеркнуть, что многообразие возможных кластерных образований в разбавленной системе делает маловероятным существование какого-либо одного четко определенного значения  $E_a$ , так что полученные оценки относятся скорее к некому усредненному параметру. Очевидно, что для исчерпывающего количественного анализа предложенной модели необходимы дальнейшие исследования, включающие как различные экспериментальные методы, так и последовательное теоретическое рассмотрение спиновых эффектов в условиях термоактивированного ян-теллеровского движения.

Авторы благодарят Г.Б. Лутца (G.B. Loutts, Norfolk State University, USA) за предоставление образцов для исследования, В.С. Вихнина и Ф.С. Джепарова – за полезные обсуждения. Работа поддержана грантом РФФИ 02-02-16219, Программой фундаментальных исследований РАН "Спин-зависимые эффекты в твердых телах и спиритроника" и грантом NSF CREST Project HRD-9805059.

## Литература

1. J.M.D. Coey, M. Viret, S. Von Molnar, *Adv. Phys.* **48**, 167 (1999).
2. E.L. Nagaev, *Phys. Rep.* **346**, 387 (2001).
3. E. Dagotto, J. Hotta, and A. Moreo, *Phys. Rep.* **344**, 1 (2001).
4. М.Ю. Каган, К.И. Кугель, УФН **171**, 577 (2001).
5. Q. Huang, A. Santoro, J.W. Lynn, et al., *Phys. Rev. B* **55**, 14987 (1997).
6. T. Chatterji, B. Ouladdiaf, P. Mandal, et al., *Phys. Rev. B* **66**, 054403 (2002).
7. B.I. Kochelaev, E. Shilova, J. Deisenhofer, et al., *Mod. Phys. Lett. B* **17**, 459 (2003).
8. J. Deisenhofer, B.I. Kochelaev, E. Shilova, et al., *Phys. Rev. B* **68**, 214427 (2003).
9. M.T. Causa, G. Alejandro, R. Zysler, et al., *J. Magn. Magnet. Mat.* **136-137**, 506 (1999).
10. J.B. Goodenough, A. Wold, R.J. Arnott, N. Menyuk, *Phys. Rev.* **124**, 373 (1961).
11. J.-S. Zhou, H.Q. Yin, and J.B. Goodenough, *Phys. Rev. B* **63**, 184423 (2001).
12. A.I. Coldea, S.J. Blundell, I.M. Marshall, et al., *Phys. Rev. B* **65**, 054402 (2001).
13. J. Blasco, J. Garcia, J. Campo, et al., *Phys. Rev. B* **66**, 174431 (2002).
14. S. Hébert, C. Martin, A. Maignan, et al., *Phys. Rev. B* **65**, 104420 (2002).
15. J.-S. Zhou, J.B. Goodenough, *Phys. Rev. B* **68**, 144406 (2003).
16. N. Noginova, G.B. Loutts, E.S. Gillman, et al., *Phys. Rev. B* **63**, 174414 (2001).
17. S.M. Yusuf, M. Sahana, K. Dörr, et al., *Phys. Rev. B* **66**, 064414 (2002).
18. D.L. Huber, G. Alejandro, A. Caneiro, et al., *Phys. Rev. B* **60**, 12155 (1999).
19. J. Deisenhofer, M.V. Eremin, D.V. Zakharov, et al., *Phys. Rev. B* **65**, 104440 (2002).
20. P.W. Anderson, P.R. Weiss, *Rev. Mod. Phys.* **25**, 269 (1953).
21. Е.С. Гринберг, Б.И. Коцелаев, Г.Г. Халиуллин, *ФТТ* **23**, 397 (1981).
22. N. Jan, D. Stauffer, *Intern. J. Mod. Phys. C* **9**, 341 (1998).
23. M.T. Causa, M. Tovar, A. Caneiro, et al., *Phys. Rev. B* **58**, 3233 (1998).
24. V.A. Ivanshin, J. Deisenhofer, H.-A. Krug von Nidda, et al., *Phys. Rev. B* **61**, 6213 (2000).
25. F. Rivadulla, M.A. Lopez-Quintela, L.E. Hueso, et al., *Phys. Rev. B* **60**, 11922-11925 (1999).
26. V.A. Atsarkin, V.V. Demidov, G.A. Vasneva, K. Conder, *Phys. Rev. B* **63**, 092405 (2001).
27. V.A. Atsarkin, V.V. Demidov, F. Simon, et al., *J. Magn. Magn. Mat.* **258-259**, 256 (2003).
28. V.A. Atsarkin, V.V. Demidov, G.A. Vasneva, D.G. Gotovtsev, *Appl. Magn. Reson.* **21**, 147 (2001).
29. G. Alejandro, M.C.G. Passeggi, D. Vega, et al., *Phys. Rev. B* **68**, 214429 (2003).
30. Ч. Сликтер, *Основы теории магнитного резонанса* (перевод с англ.), Мир, М. (1981), гл. 5.
31. Г.Р. Хуцишвили, УФН **87**, 211 (1965); **96**, 441 (1968).
32. И.В. Александров, *Теория магнитной релаксации*, Наука, М., 1975), гл. 7.
33. Ф.С. Джепаров, Ж.-Ф. Жакино, С.В. Степанов, *Ядерная физика* **65**, 2113 (2002).
34. N. Noginova, E. Arthur, T. Weaver, et al., *Phys. Rev. B* **69**, 024406 (2004).
35. U. Opik, M.H.L. Pryce, *Proc. Roy. Soc. A* **238**, 425 (1957).
36. А. Абрагам, Б. Блини, *Электронный парамагнитный резонанс переходных ионов* (перевод с англ.), Мир, Москва (1973), т.2, с.256.
37. В.С. Вихнин, частное сообщение.